

Fig. 1A

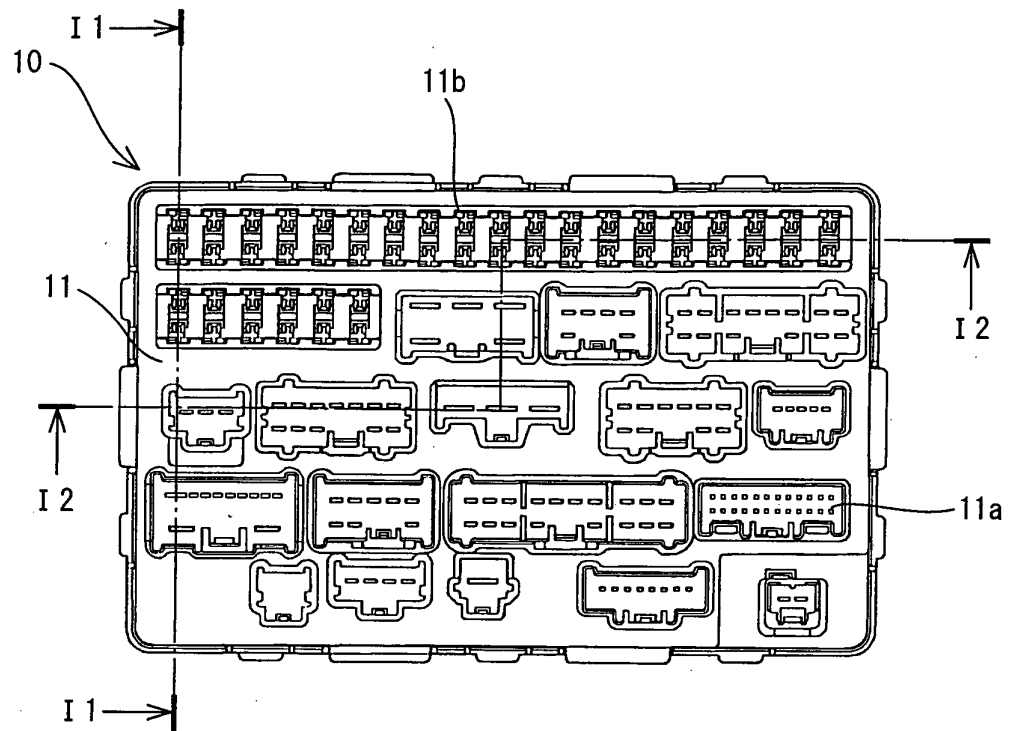


Fig. 1B

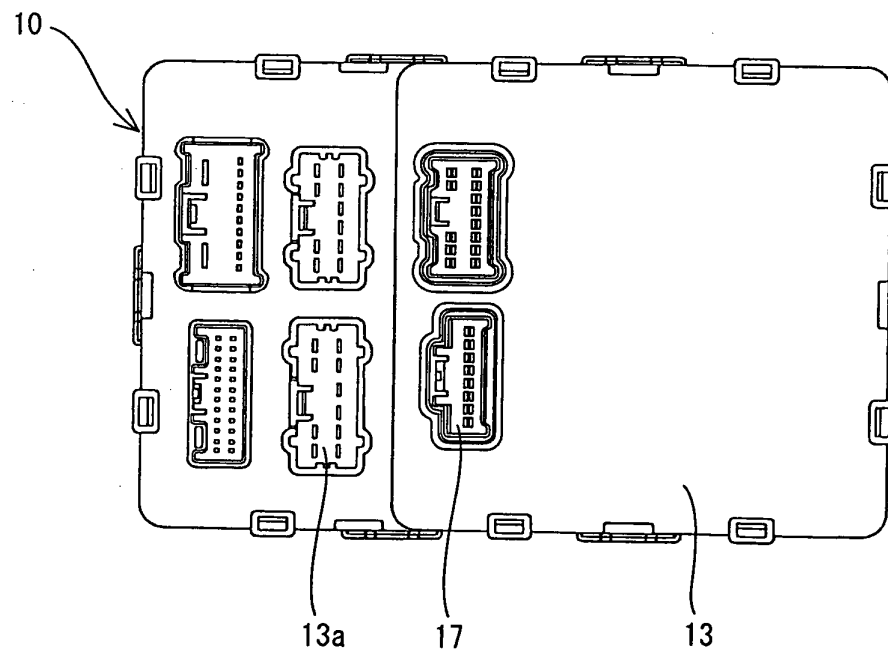


Fig. 2

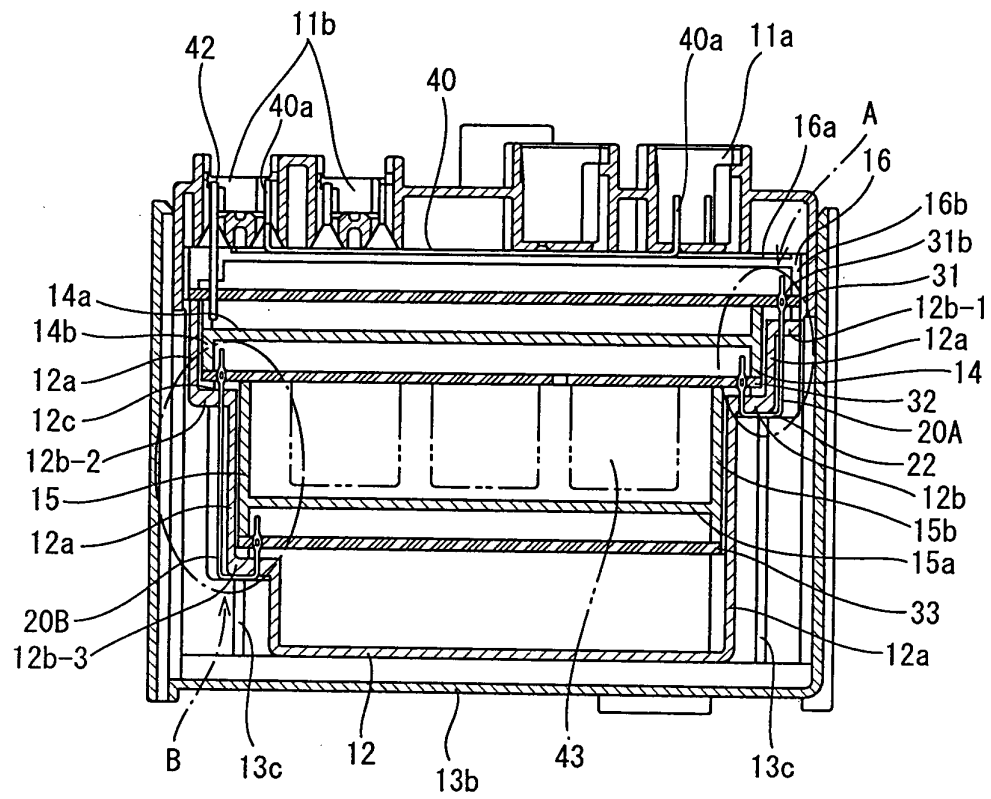


Fig. 3

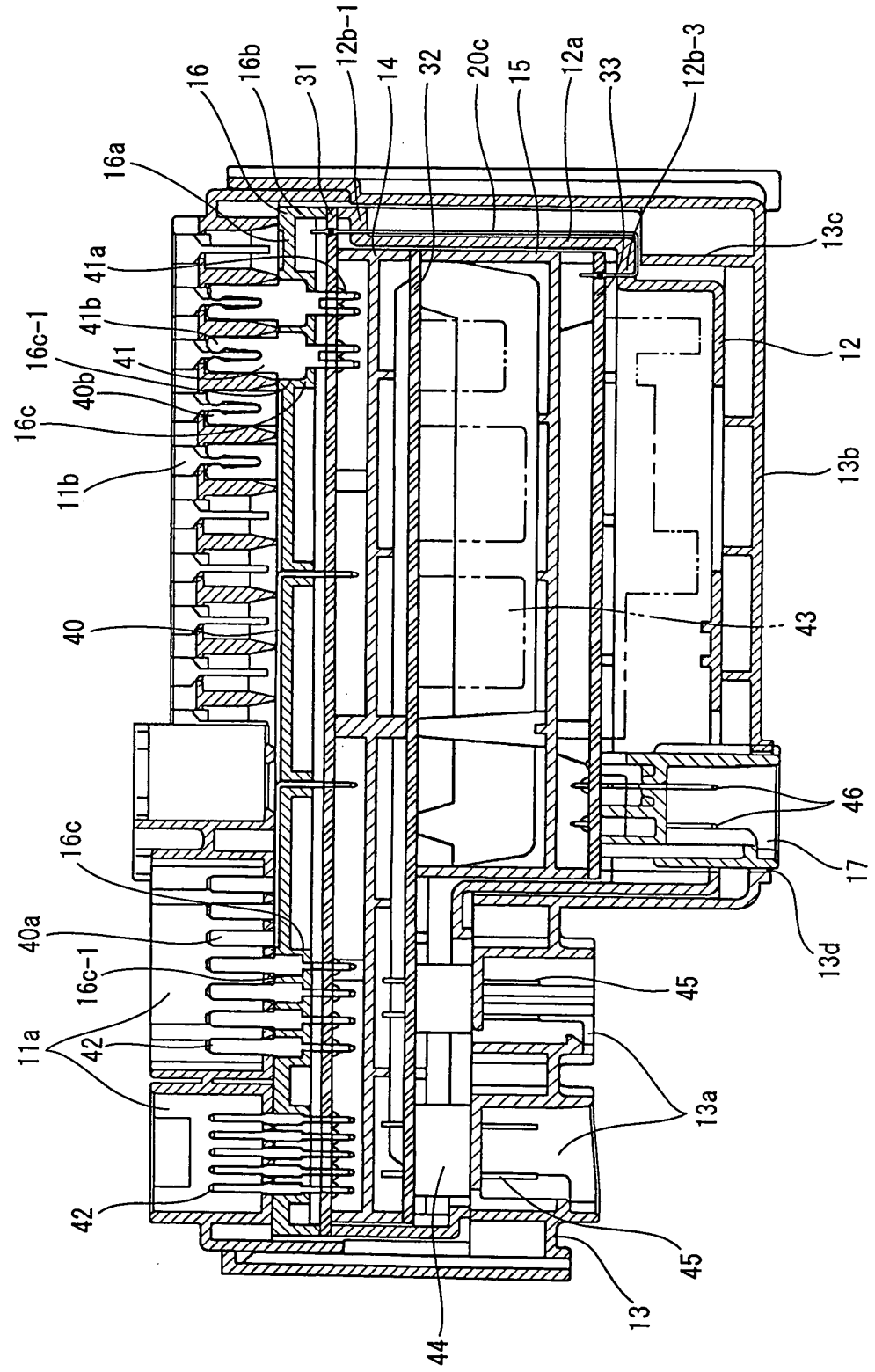


Fig. 4

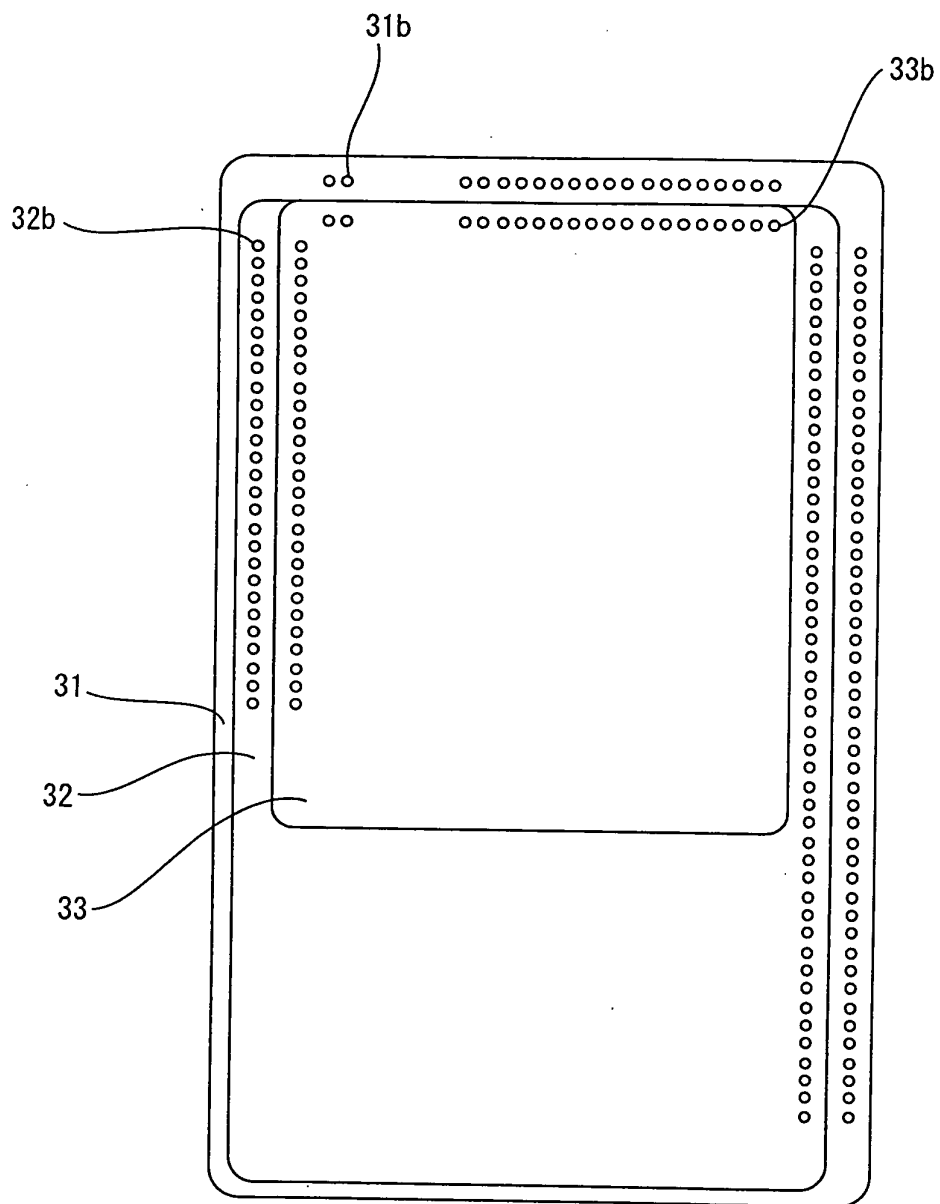


Fig. 5

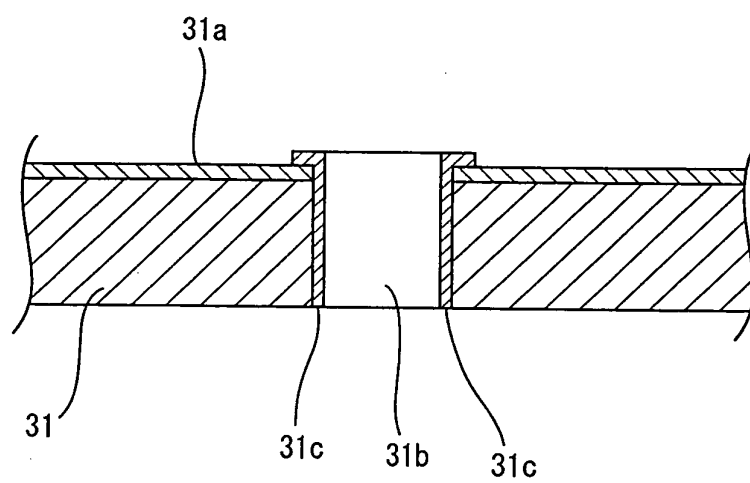


Fig. 6

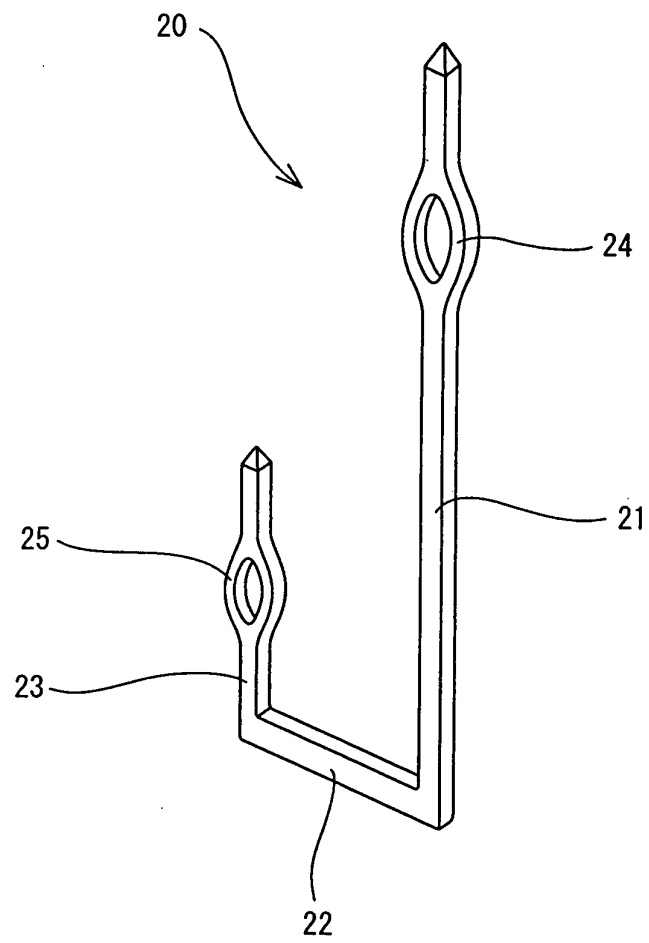


Fig. 7

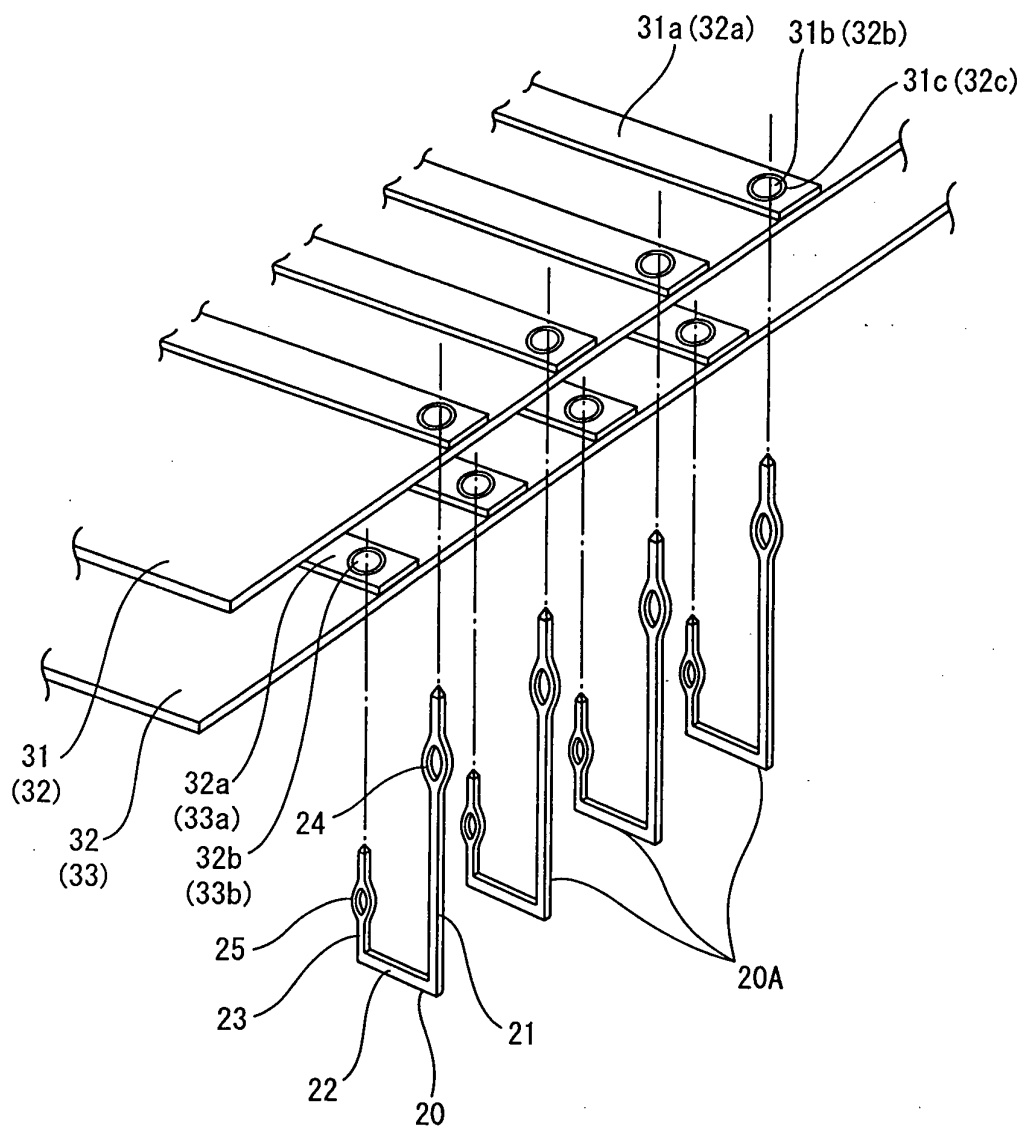


Fig. 8A

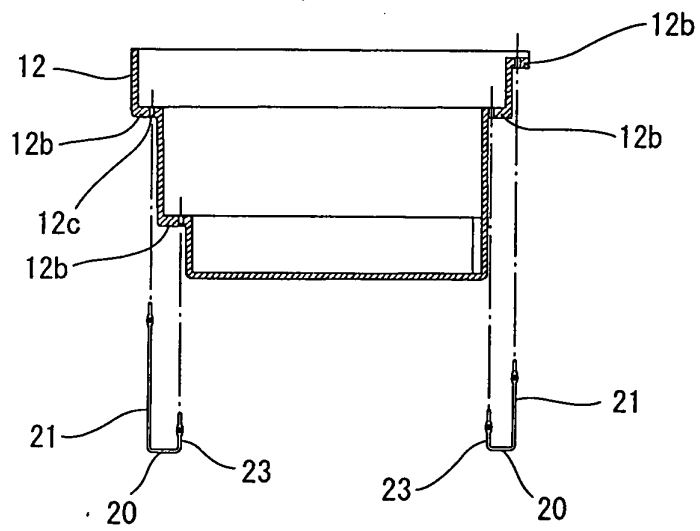


Fig. 8B

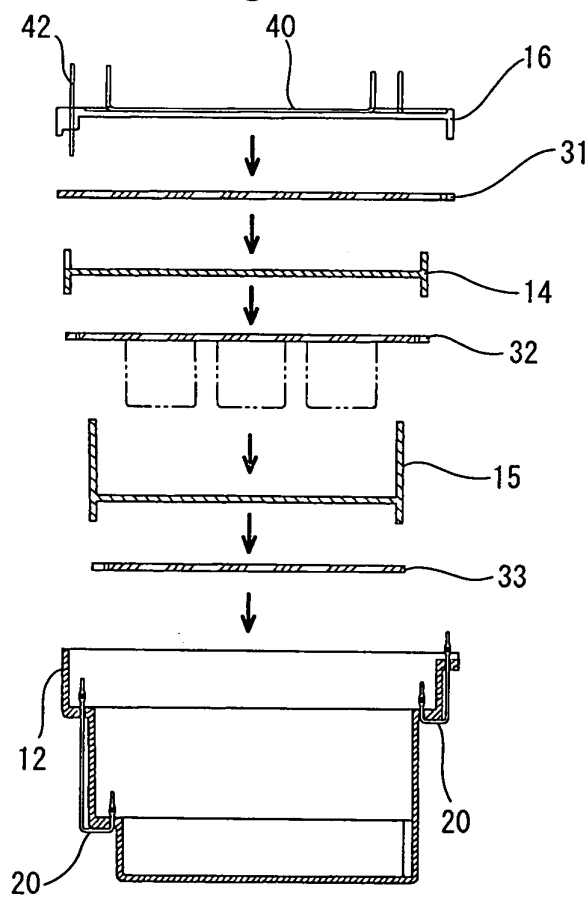


Fig. 8C

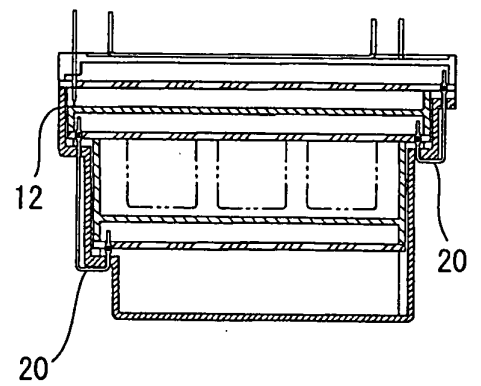




Fig. 9A

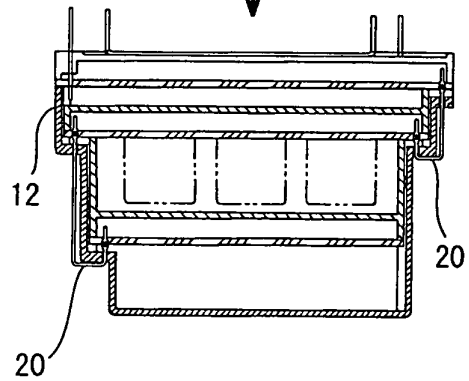
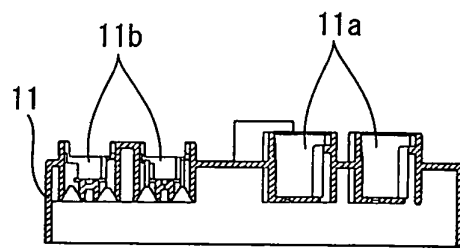


Fig. 9B

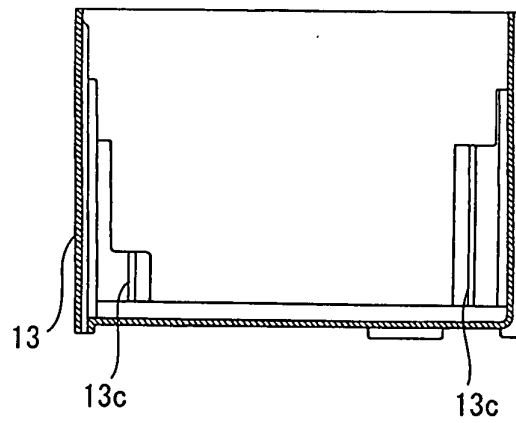
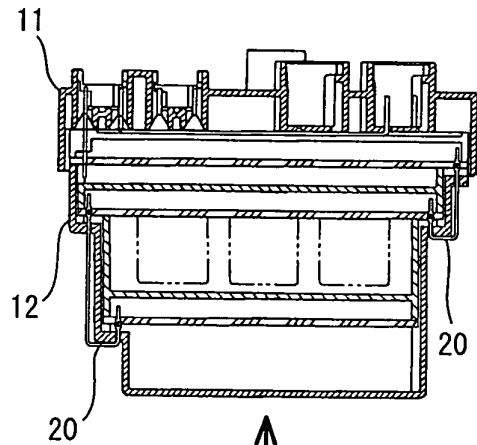


Fig. 10

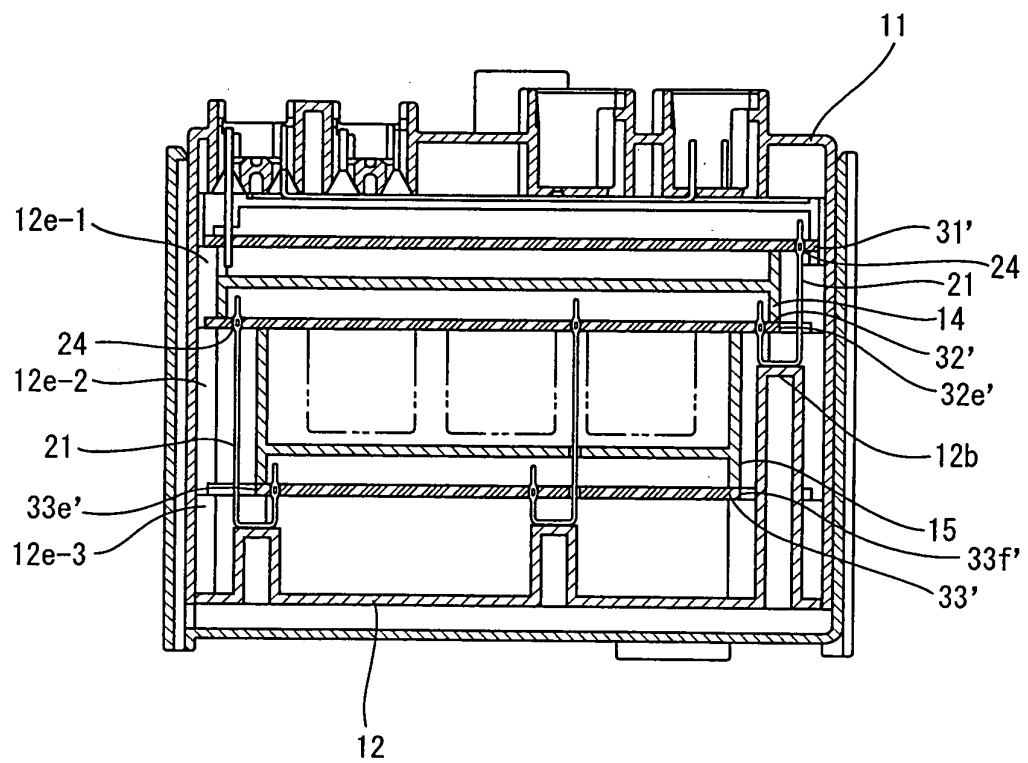


Fig. 11

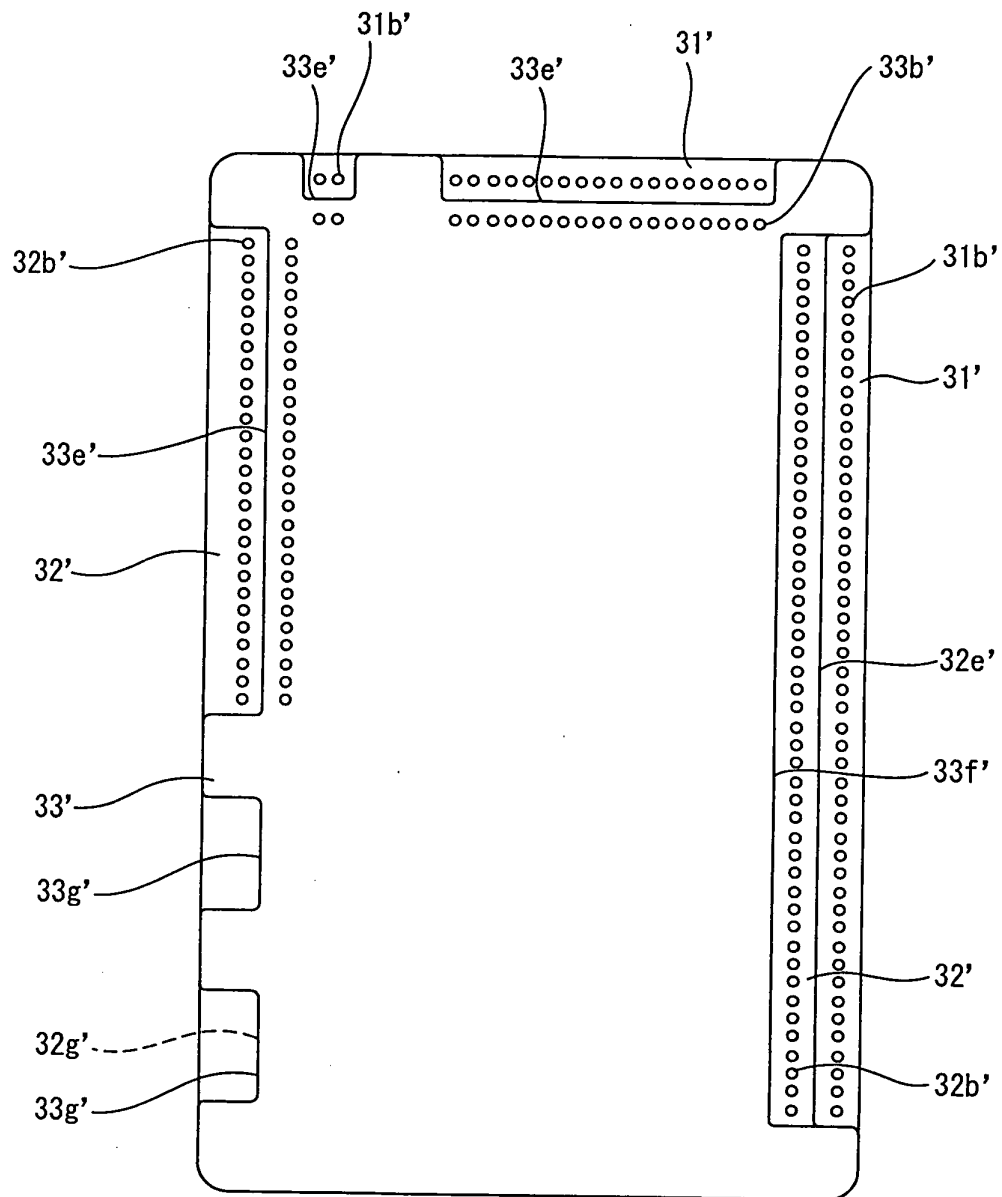


Fig. 12A

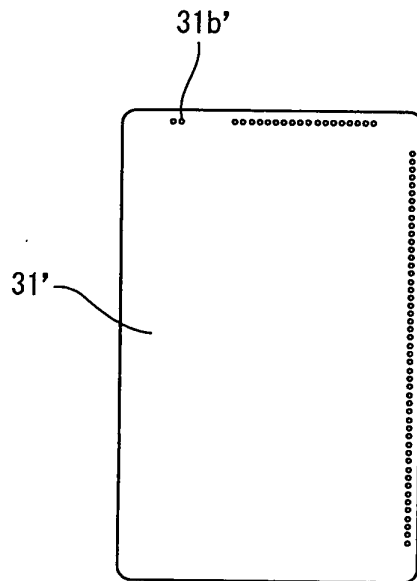


Fig. 12B

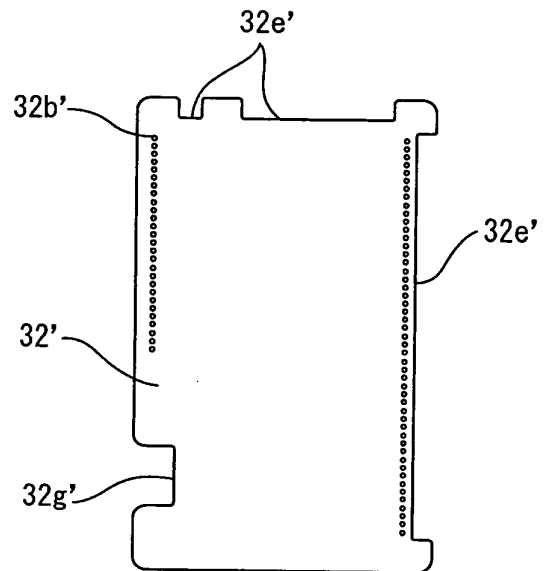


Fig. 12C

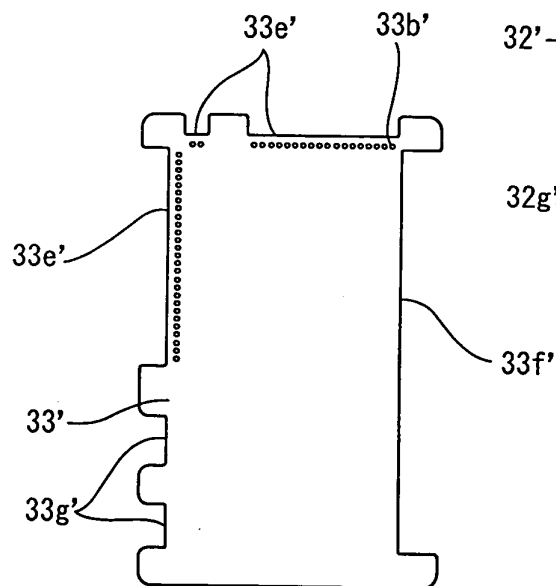
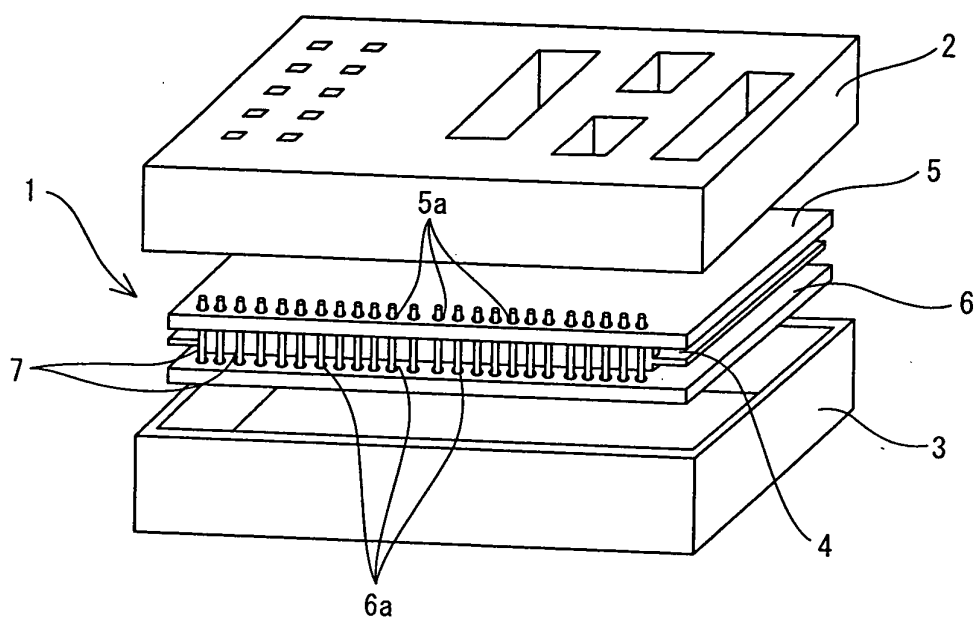


Fig. 13



[Prior Art]